

鏡映核のモーメントで探る fシエルの核構造

阪大理 新潟大 高知工科大 理研
松多健策

重イオン衝突で偏極不安定核ビーム生成

→ ディグレーダーで減速 → 結晶植込停止

RNB技術
β-NMR

→ $^{36,37}\text{P}$ の磁気モーメント

→ スピンの決定、魔法数 20 ?

+ スピン操作技術

→ ^{13}B の整列相関項

→ 誘導テンソル項

RCNPでの今後の展開

Sdシエルのモーメント → **f7/2シエル 鏡映核対**

核物性研究

ENコース

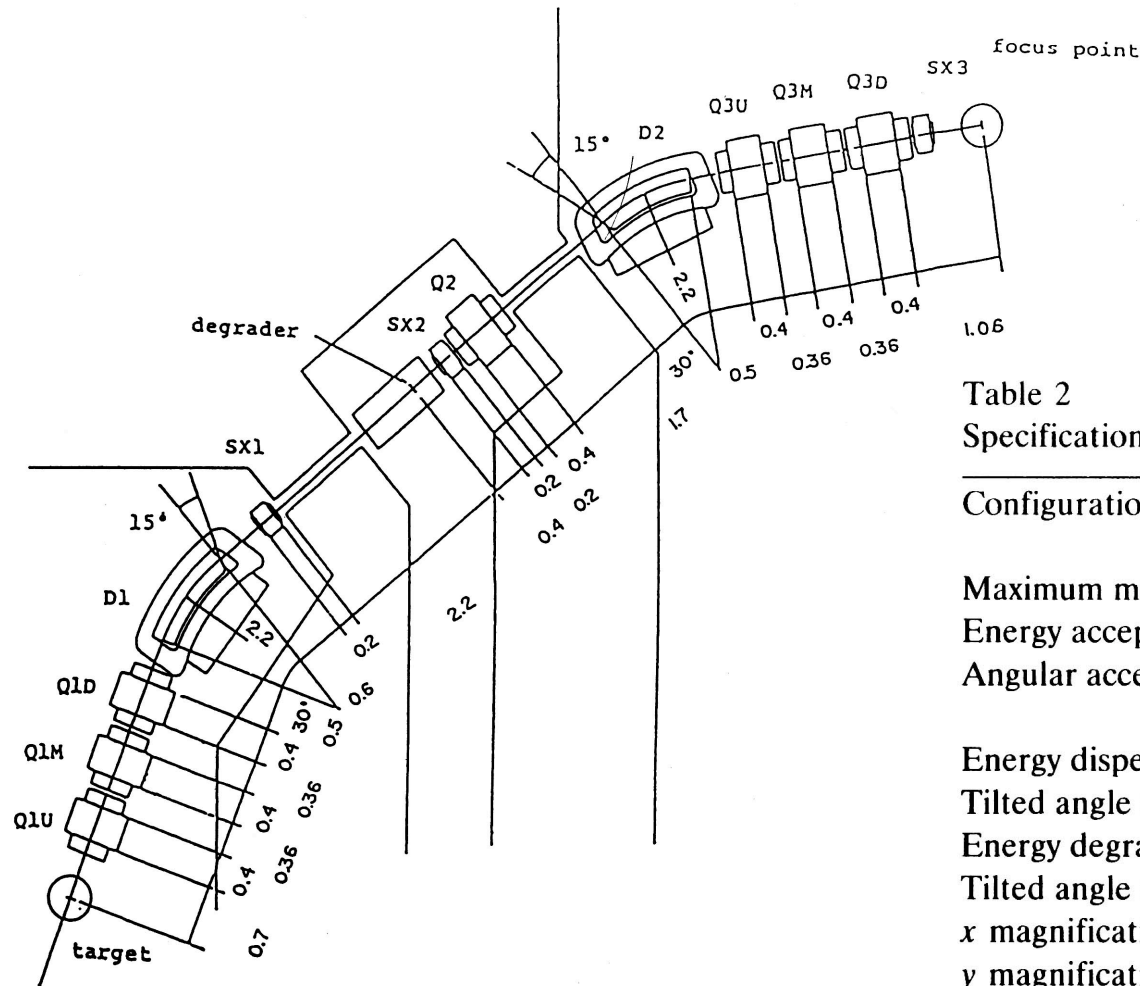


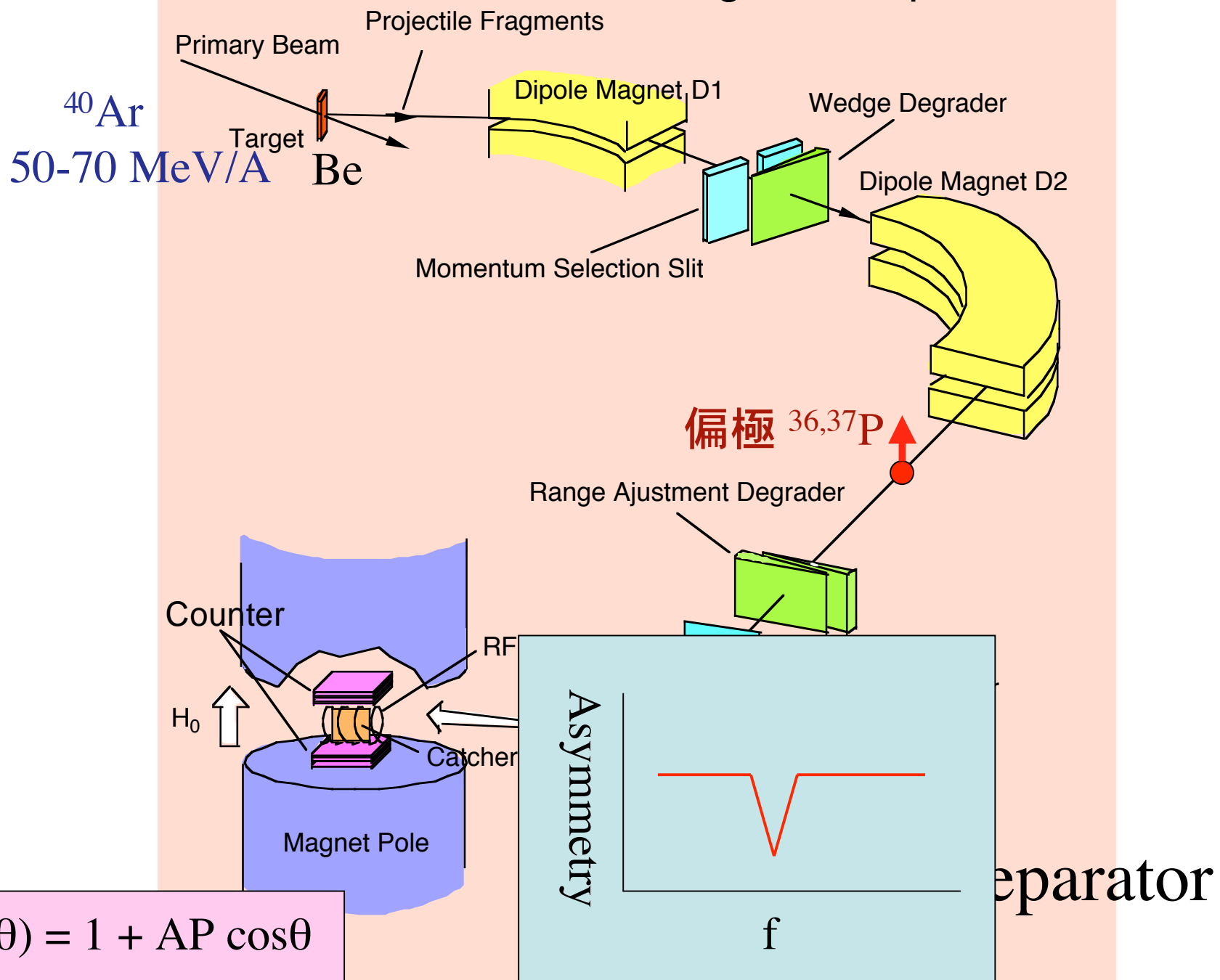
Table 2
Specifications of the RCNP secondary-beam line

Configuration	QQQDSX(F1) SXQDQQQSX(F2)
Maximum magnetic rigidity	3.2 T m
Energy acceptance	$\Delta E / E = \pm 8\%$
Angular acceptance	$\Delta \theta = \pm 20$ mrad $\Delta \phi = \pm 14$ mrad
Energy dispersion at F1	0.866 m
Tilted angle of F1 focal line	90°
Energy degrader	uniformly thick
Tilted angle of F2 focal line	86.6°
x magnification	2.0 (variable)
y magnification	1.4 (variable)
A dispersion	6.51 mm/% ($d_0 / R = 0.5$, variable)
Z dispersion	-3.91 mm/% ($d_0 / R = 0.5$, variable)
$A / \Delta A$ ($x_0 = \pm 0.5$ mm)	326 ($d_0 / R = 0.5$, without energy straggling)
$Z / \Delta Z$ ($x_0 = \pm 0.5$ mm)	195 ($d_0 / R = 0.5$, without energy straggling)
Path length of the central orbit	14.774 m

下田、森信

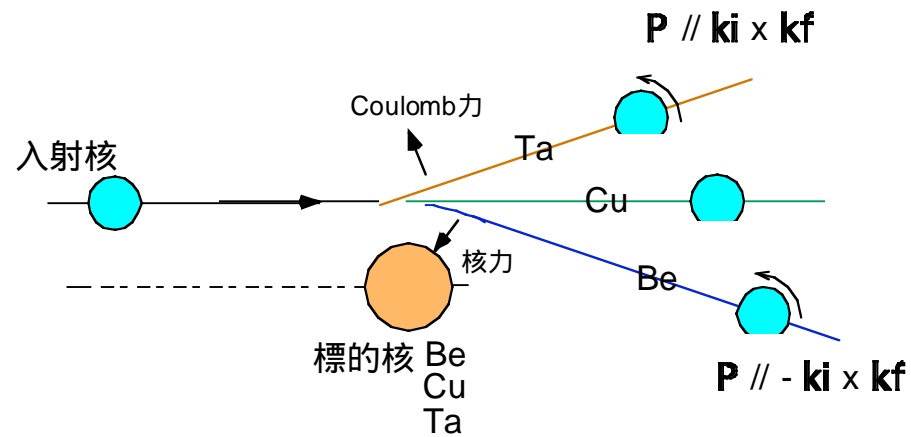
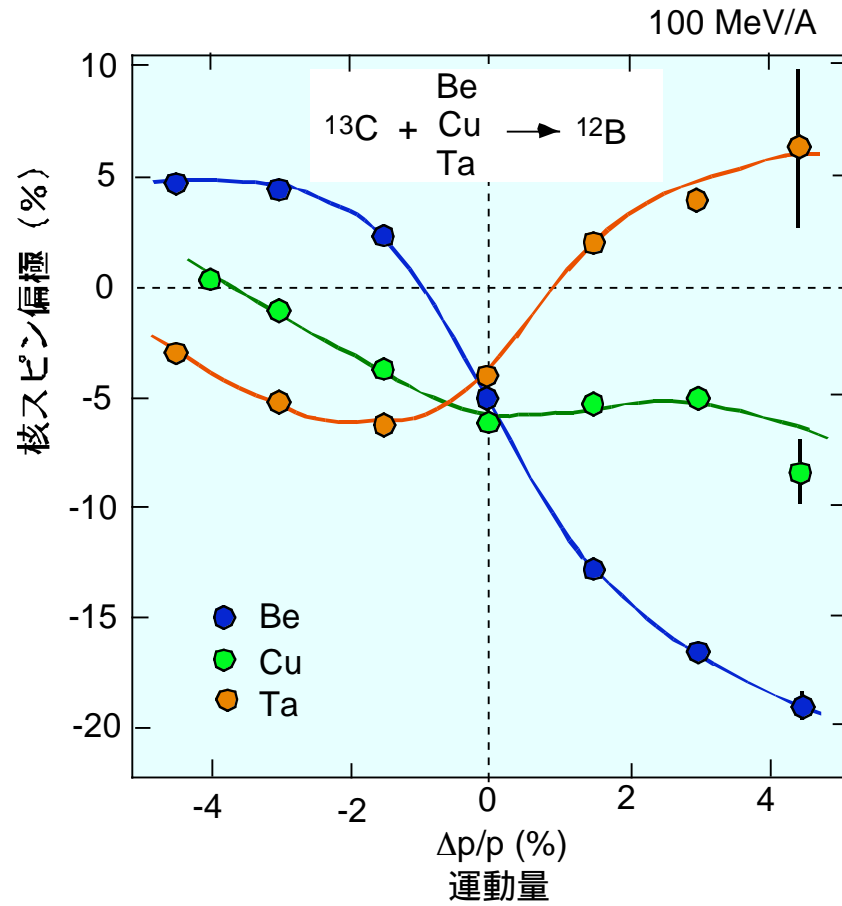
RCNP, ENコース

Fragment Separator

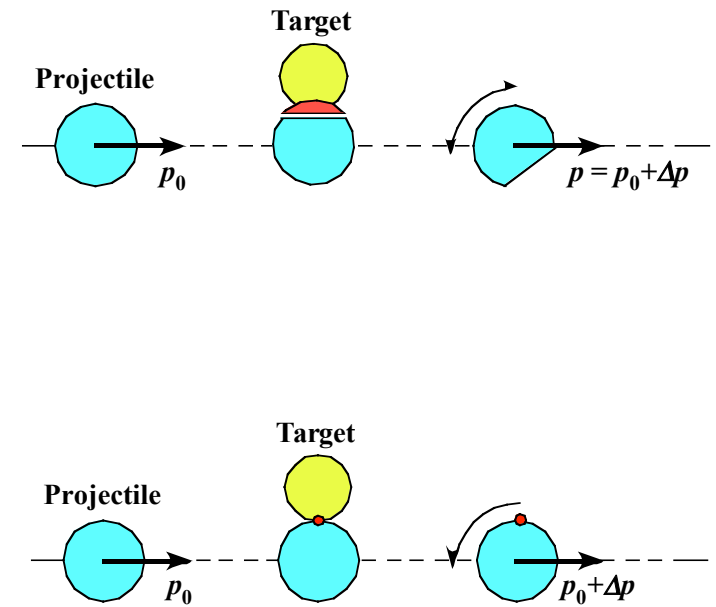
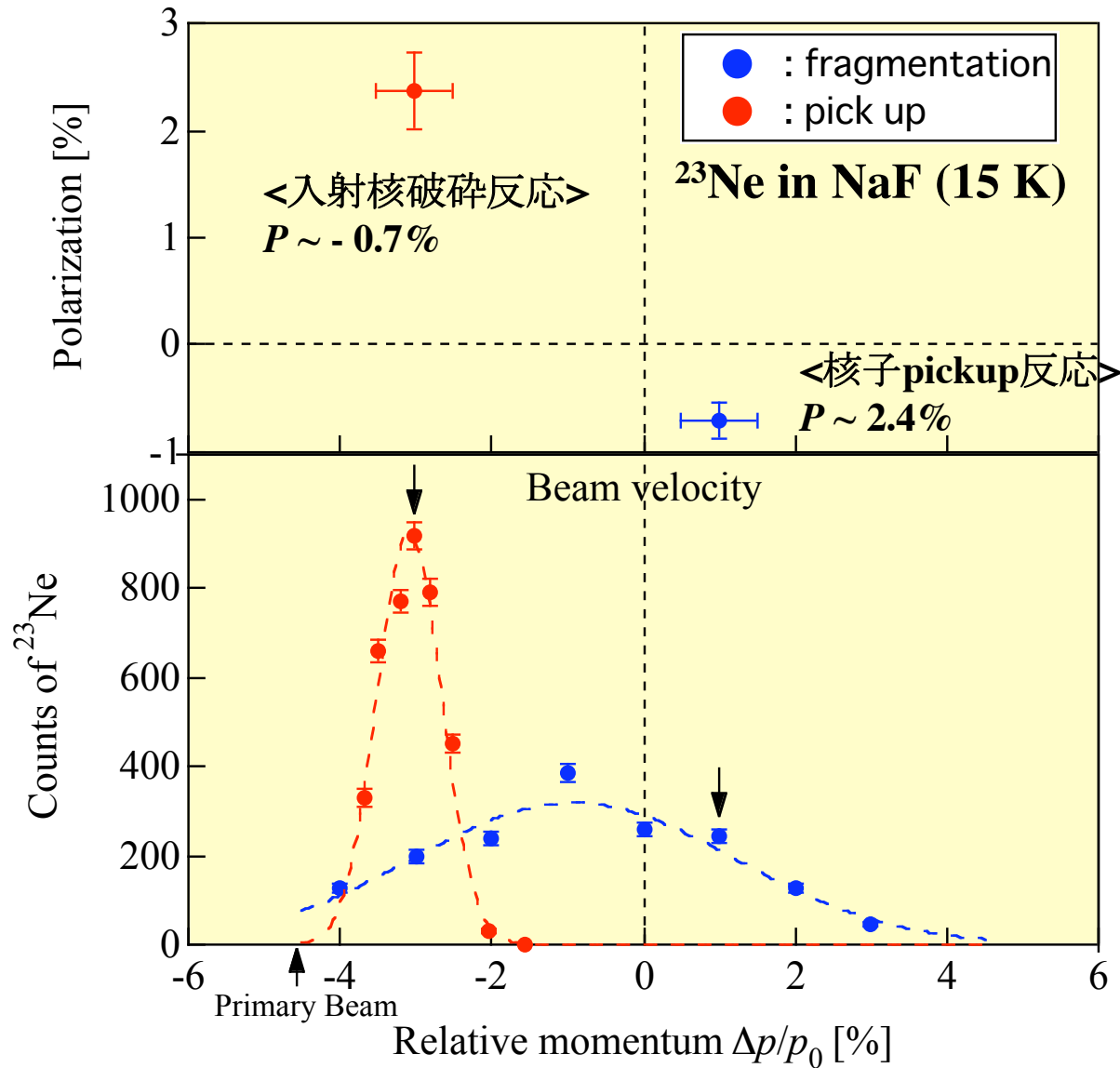


$$W(\theta) = 1 + AP \cos\theta$$

高エネルギー入射核破碎過程での偏極機構



Polarization and Yield of ^{23}Ne

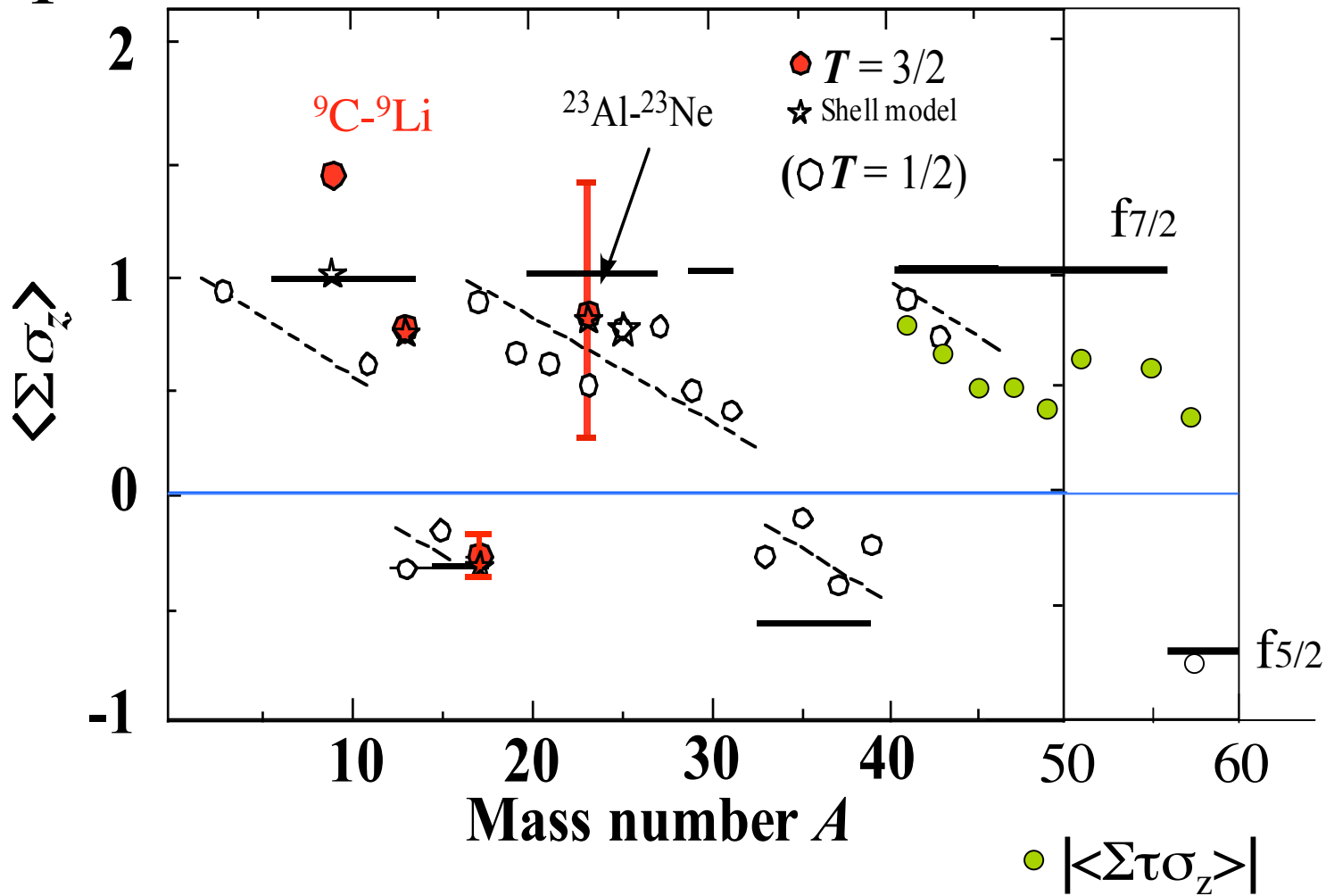
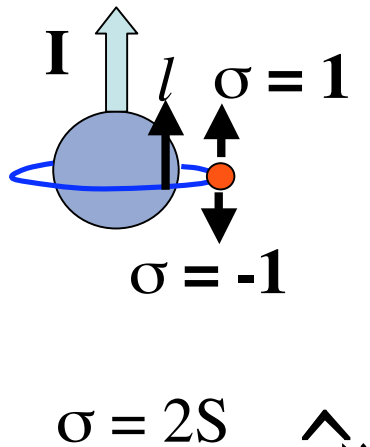


f7/2シェル鏡映核対

Q	μ	$T_{1/2}$	^{57}Cu ?	—	$^{57}\text{Ni}_{3/2-}$	$T_{1/2}$	μ	Q
	2.00(5)*	0.20 s				36 h	-0.7975(14)	新潟大
RCNPに期待		0.19 s	^{55}Ni	—	$^{55}\text{Co}_{7/2-}$	18 h	+4.822(3)	
		0.26 s	^{53}Co	—	$^{53}\text{Fe}_{7/2-}$	8.5 m	オンライン 低温核整列	
		0.25 s	^{51}Fe	—	$^{51}\text{Mn}_{5/2-}$	46 m	+3.5683(13)	420(70)
		0.38 s	^{49}Mn	—	$^{49}\text{Cr}_{5/2-}$	42 m	0.476(3)	
		0.46 s	^{47}Cr	—	$^{47}\text{V}_{3/2-}$	33 m	オンライン 低温核整列	
		0.4 s	^{45}V	—	$^{45}\text{Ti}_{7/2-}$	3.1 h	0.095(2)	15(15)
		0.50 s	^{43}Ti	—	$^{43}\text{Sc}_{7/2-}$	3.9 h	+4.62(4)	-260(60)
	156(3)	5.4305(36)	0.60 s	^{41}Sc	—	$^{41}\text{Ca}_{7/2-}$	10^5 y	-1.594781(9)

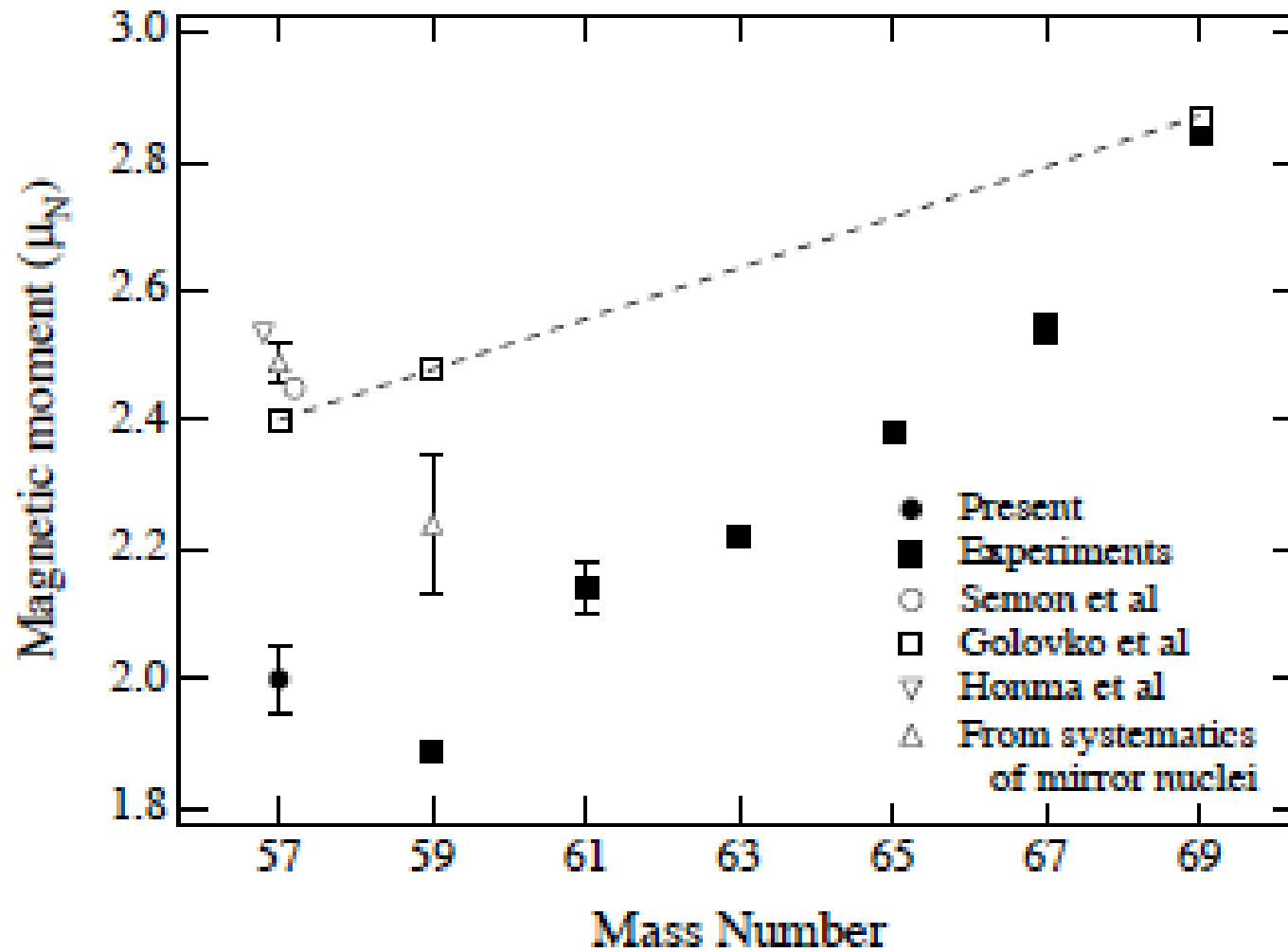
β -NMR

スピン期待値 (含fシェル)



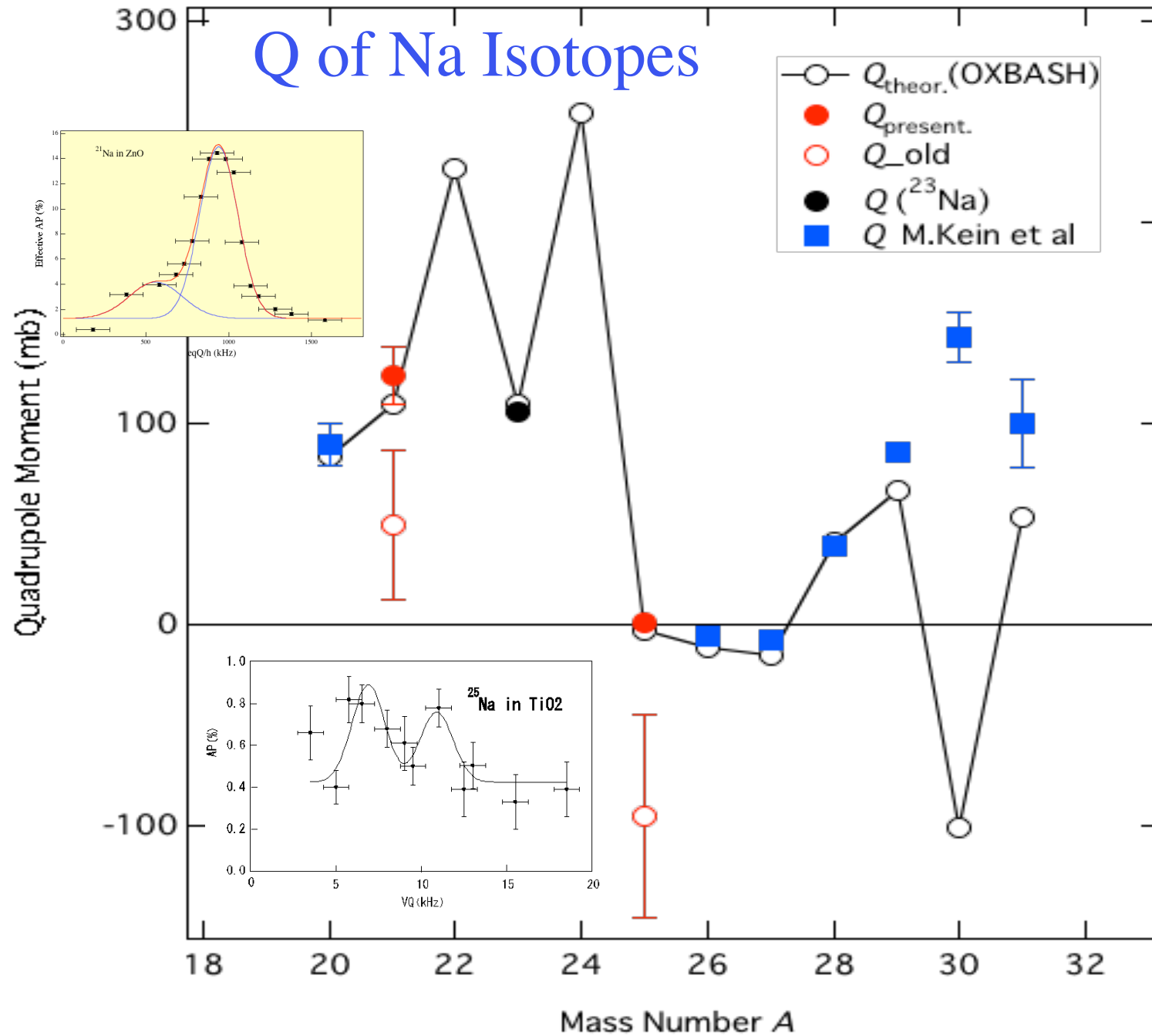
$$\begin{aligned}
 &\mu(T_z = +T) + \mu(T_z = -T) \\
 &= I + (\mu_p + \mu_n - 1/2) \langle \sum \sigma_z \rangle
 \end{aligned}$$

Magnetic Moments of **Cu** Isotopes

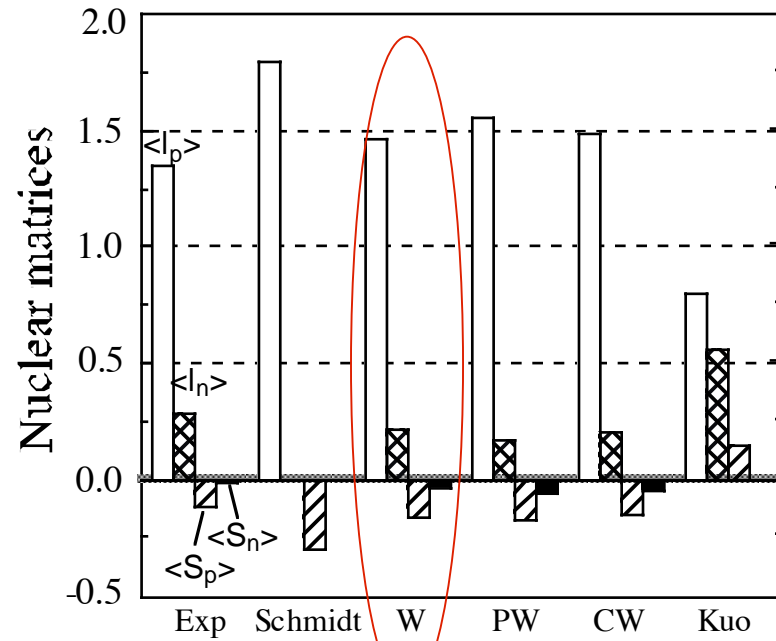
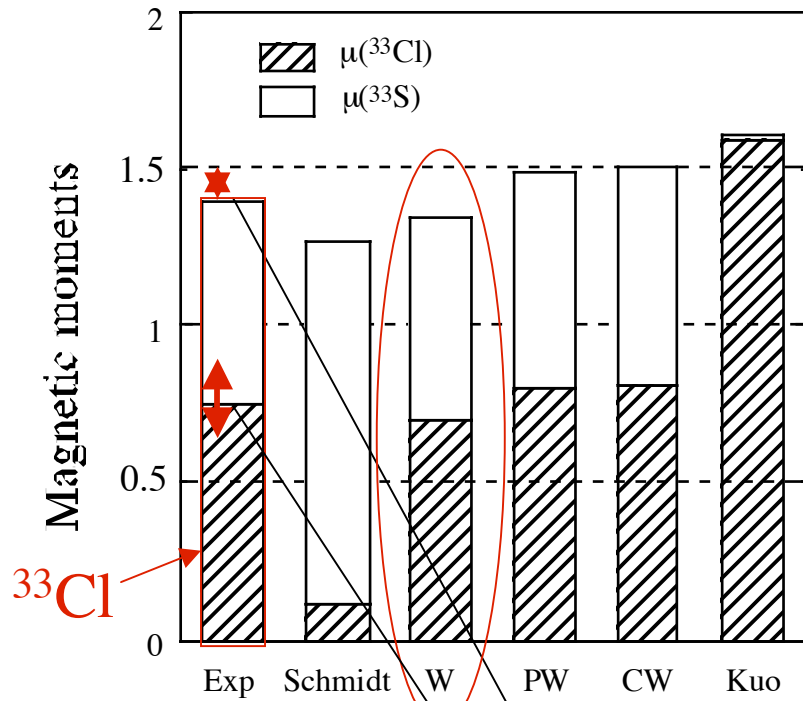
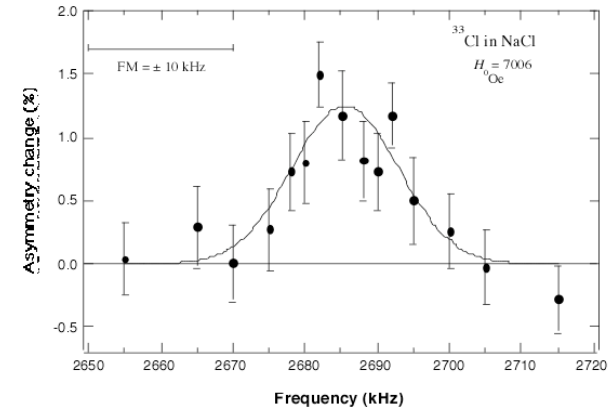
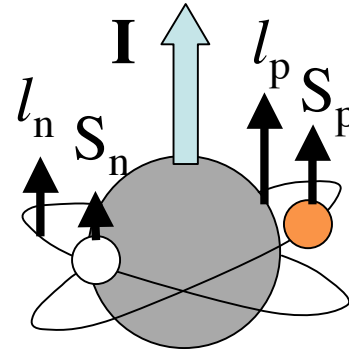


K. Minamisono, P. Mantica

Q of Na Isotopes



Discussion on ^{33}Cl



$$\mu(T_z = +T) + \mu(T_z = -T) = I + (\mu_p + \mu_n - 1/2) \langle \Sigma \sigma_z \rangle$$

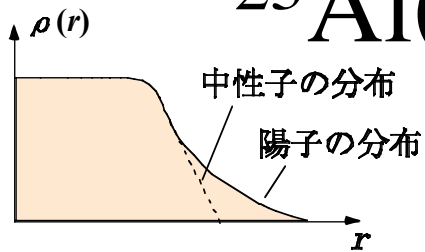
$$\langle S \rangle = 1/2 \langle \sigma \rangle$$

$$\langle \tau_3 l \rangle, \langle \tau_3 S \rangle$$

ft

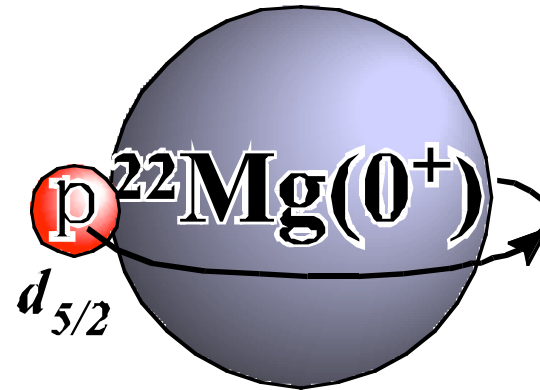
$$\langle \tau \sigma \rangle = \frac{I}{I+1} \frac{1}{C_A} \sqrt{\frac{B}{ft} - 1}$$

$^{23}\text{Al} (I^\pi = ? , T_{1/2} = 0.47\text{s})$

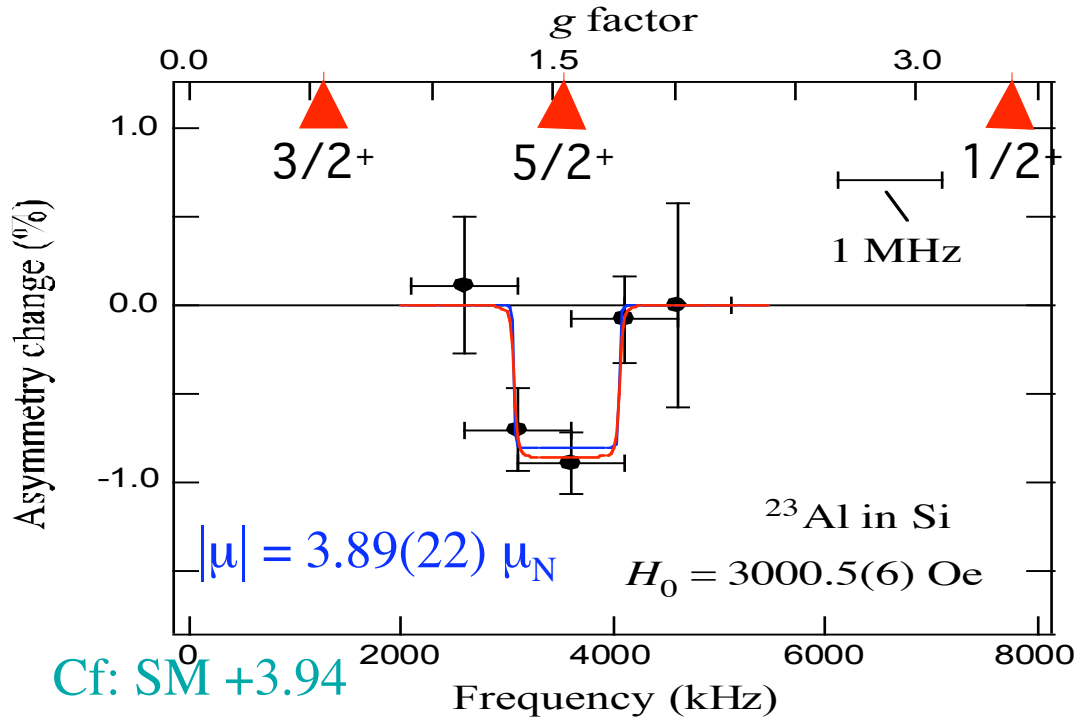


Proton halo?

$^{22}\text{Mg} (0^+) \times d_{5/2}$
 $s_{1/2} ?$



Large Radius



Cf: SM +3.94

$$g = \mu/I$$

Shell Model

1.58	(5/2+)
3.40	(1/2+)

陽子、中性子の角運動量期待値

$$I = \langle l_z^p \rangle + \langle s_z^p \rangle + \langle l_z^n \rangle + \langle s_z^n \rangle$$

IASへの遷移 $\log ft = 3.4(2)$

$$\mu(^{23}\text{Al}) = 3.89(22) \mu_N$$

$$\mu(^{23}\text{Ne}) = -1.0817(9) \mu_N$$

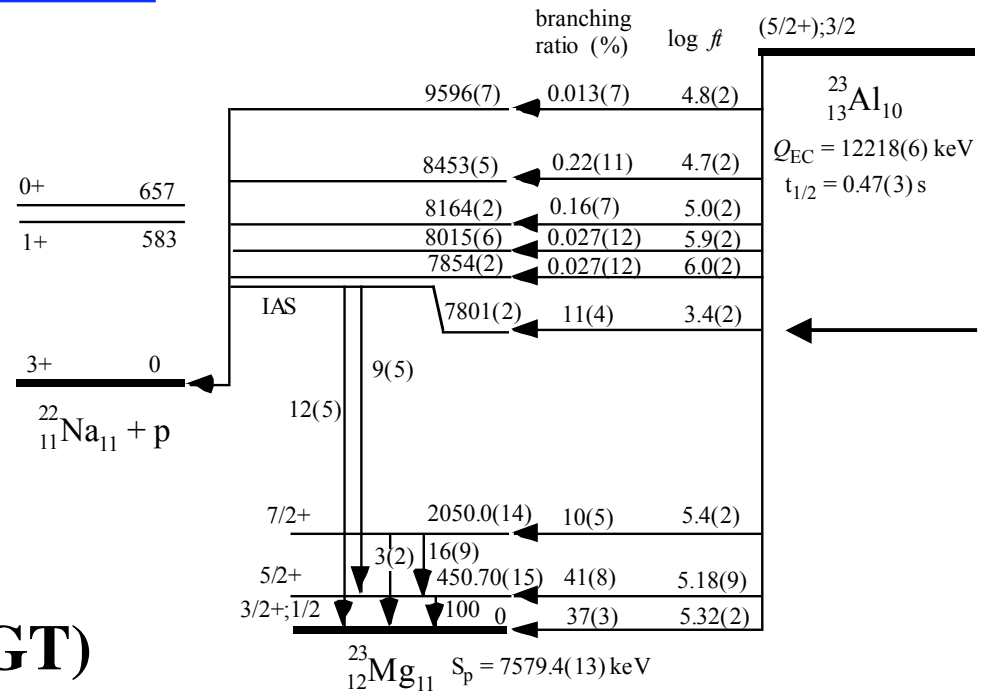
$$C/ft_{1/2} = B(F) + B(GT)$$

$$-1.4(2) \leq \langle l_z(p) \rangle \leq 1.2(2)$$

$$-0.07(15) \leq \langle s_z(p) \rangle \leq 0.20(15)$$

$$0.9(2) \leq \langle l_z(n) \rangle \leq 3.5(2)$$

$$0.20(15) \leq \langle s_z(n) \rangle \leq 0.48(15)$$



Shell-model

$$\langle l_z(p) \rangle = 0.194$$

$$\langle s_z(p) \rangle = 0.025$$

$$\langle l_z(n) \rangle = 1.898$$

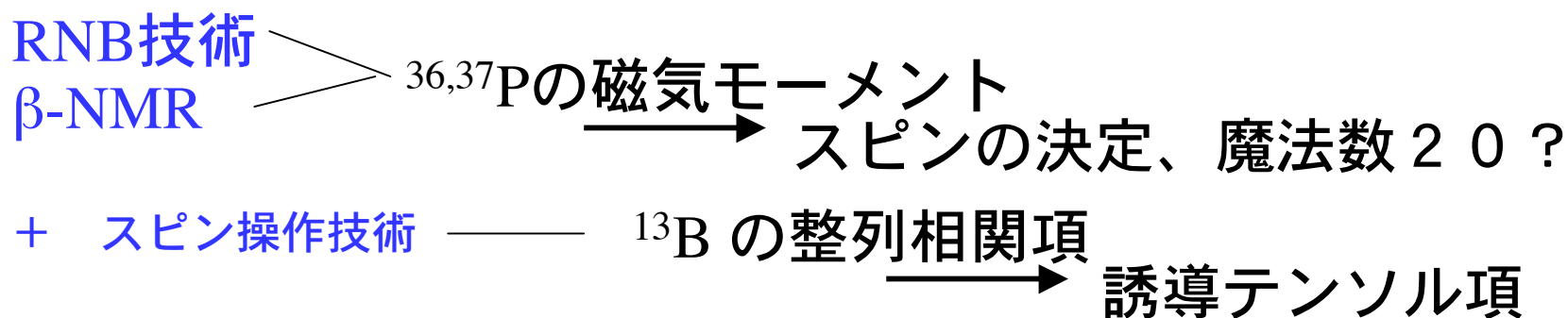
$$\langle s_z(n) \rangle = 0.388$$

まとめ

RCNPでの重イオン利用研究展開

高エネルギー重イオン反応で偏極不安定核生成

→ ディグレーターで減速 → 結晶植込停止



Sdシェルのモーメント → **f7/2シェル 鏡映核対**

スピン期待値、軌道角運動量

核物性研究

$$I = \langle l_z^p \rangle + \langle s_z^p \rangle + \langle l_z^n \rangle + \langle s_z^n \rangle$$